

Fig. 1 PRIOR ART

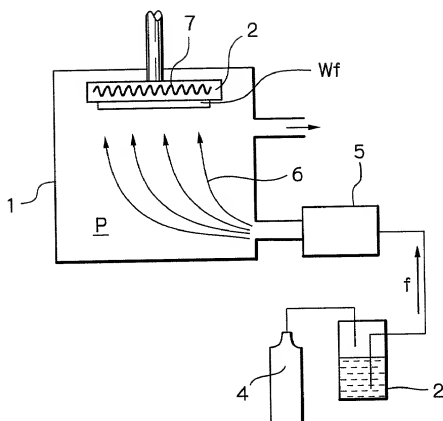


Fig. 2(a)

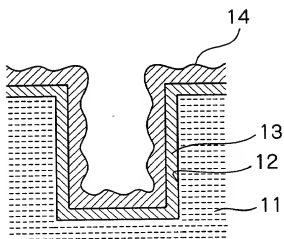


Fig. 2(b)

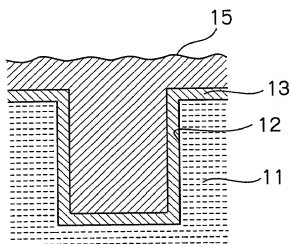


Fig. 3(a)

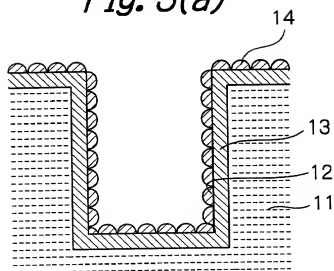


Fig. 3(b)

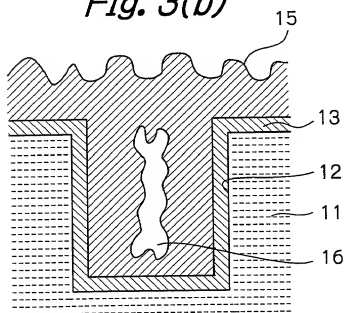


Fig. 4

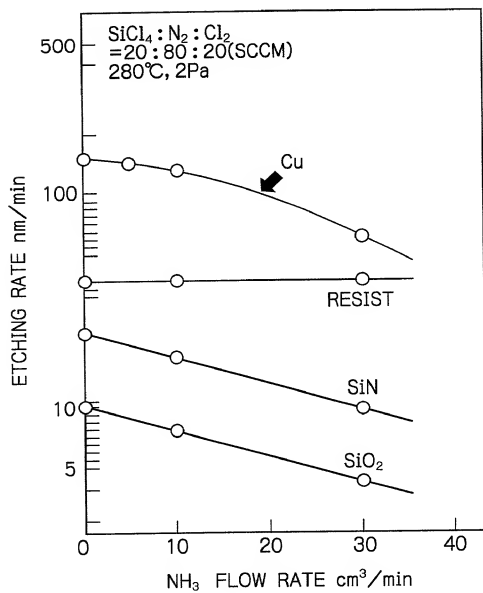


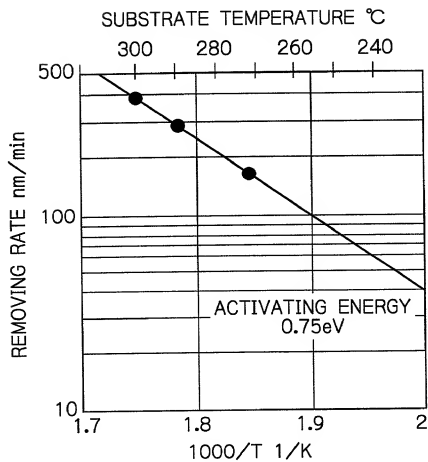
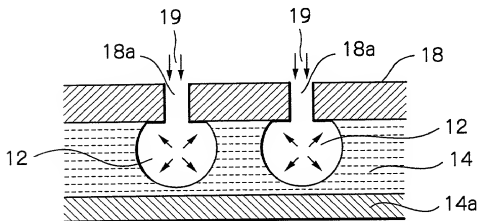
Fig. 5*Fig. 6*

Fig. 7

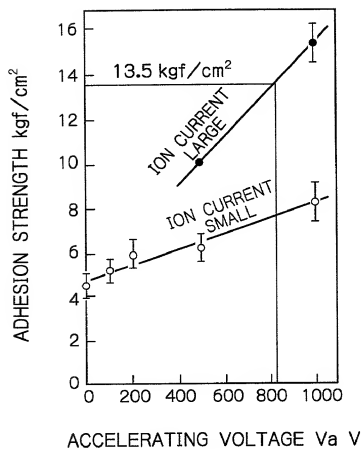


Fig. 8

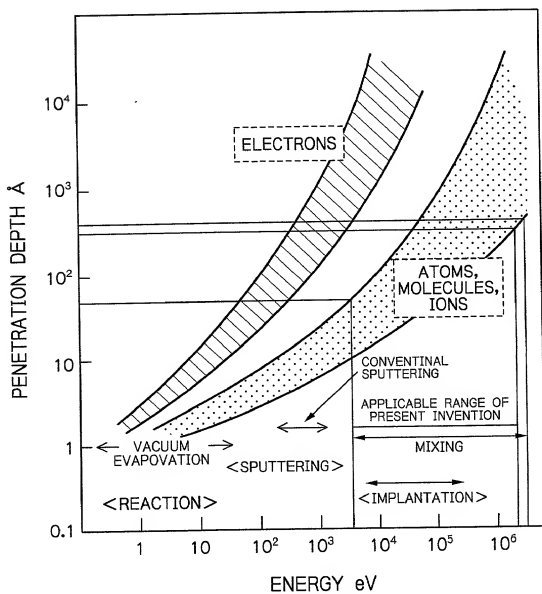


Fig. 9

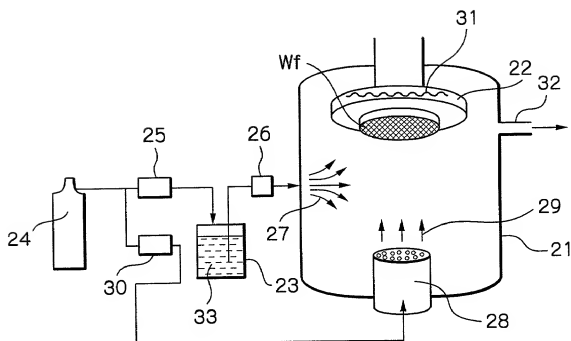


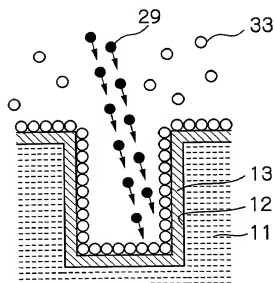
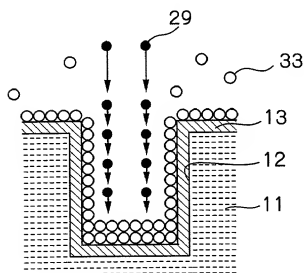
Fig. 10(a)*Fig. 10(b)*

Fig. 11

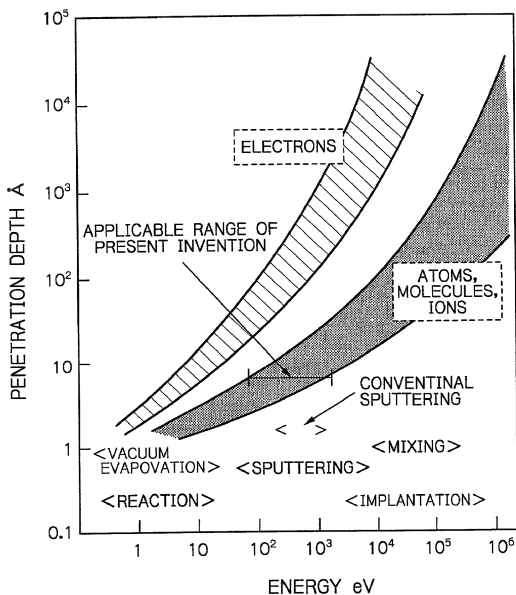


Fig. 13

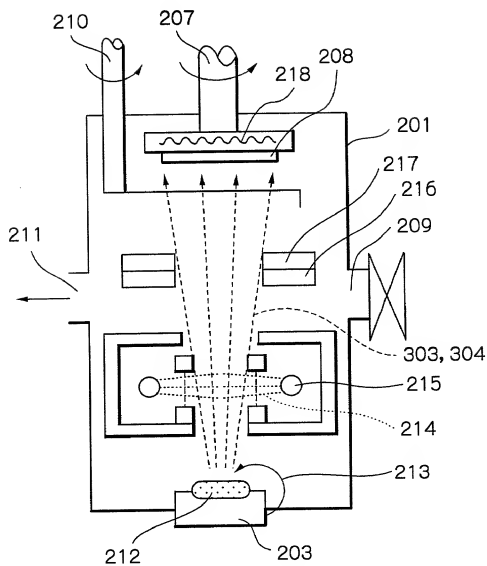


Fig. 14(a)

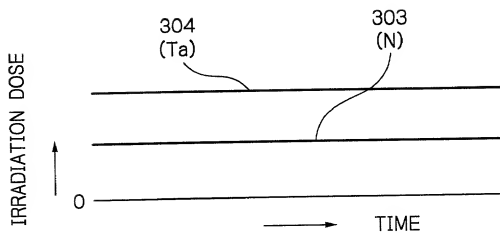


Fig. 14(b)

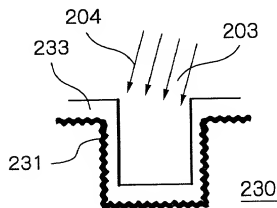


Fig. 15(a)

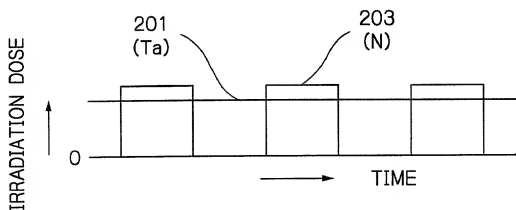


Fig. 15(b)

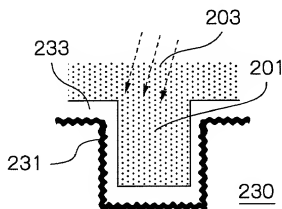


Fig. 16(a)

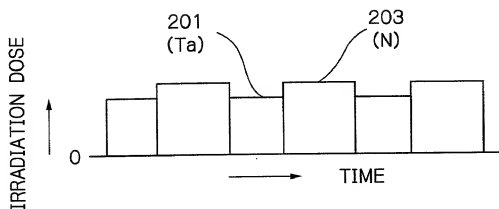


Fig. 16(b)

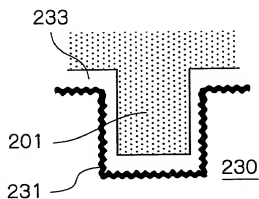


Fig. 16(c)

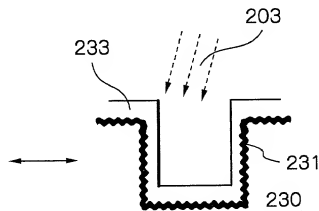


Fig. 17(a)

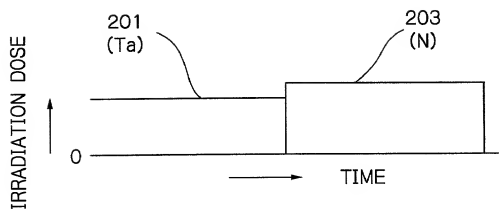


Fig. 17(b)

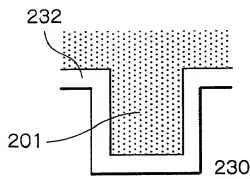


Fig. 17(c)

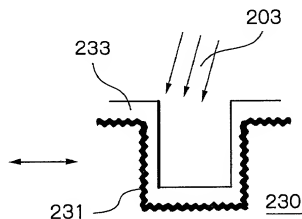


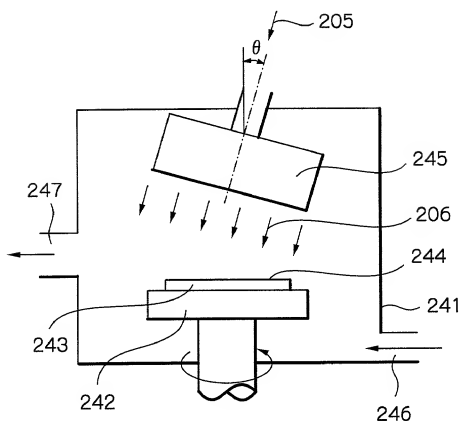
Fig. 18

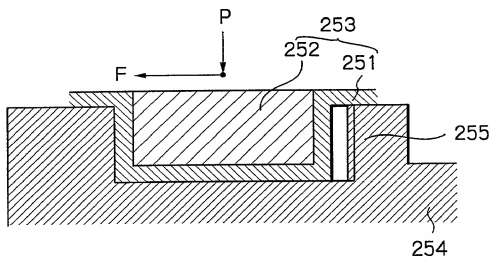
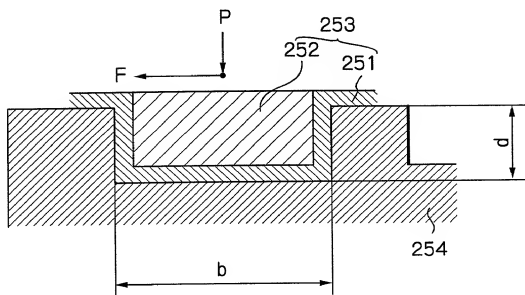
Fig. 19

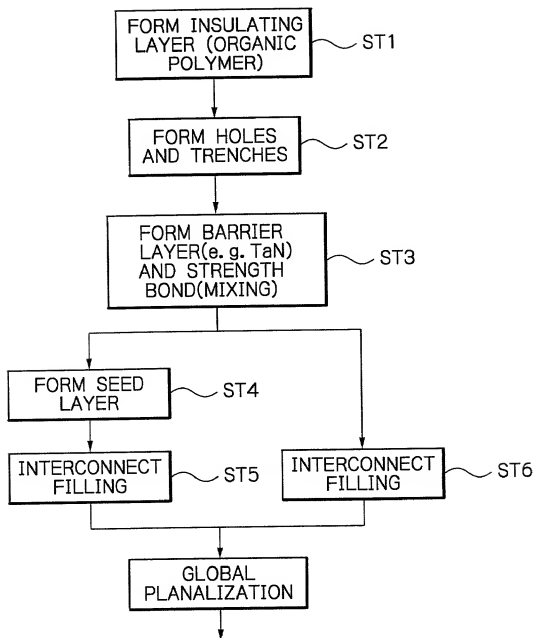
Fig. 20

Fig. 21

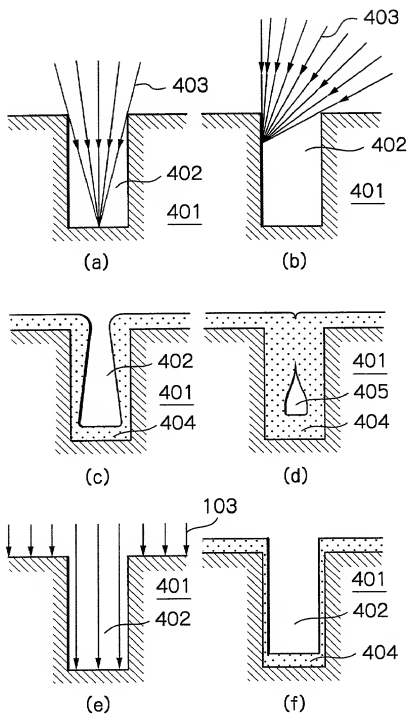


Fig. 22

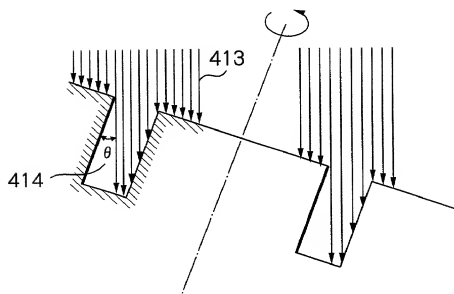


Fig. 23(a) Fig. 23(b) Fig. 23(c)

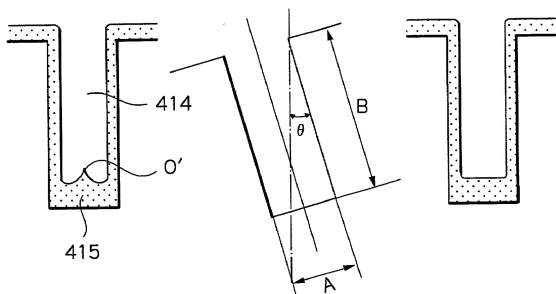


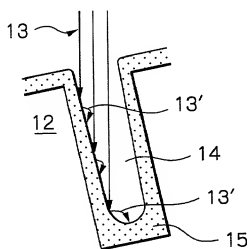
Fig. 24

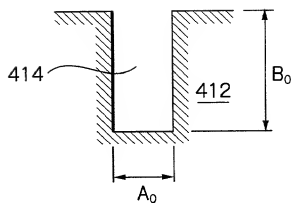
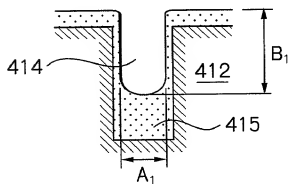
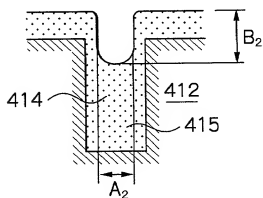
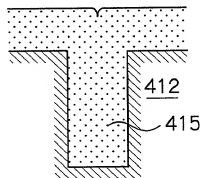
Fig. 25(a)*Fig. 25(b)**Fig. 25(c)**Fig. 25(d)*

Fig. 26

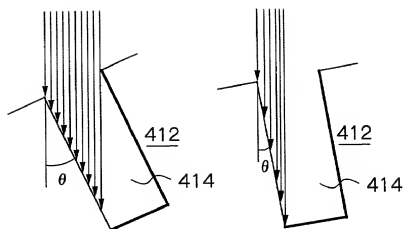


Fig. 27

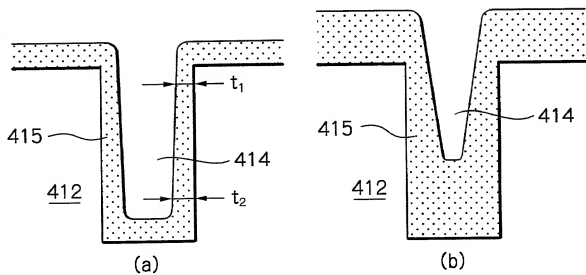


Fig. 28

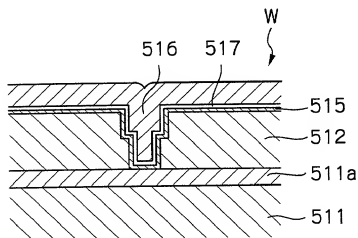


Fig. 29(a)

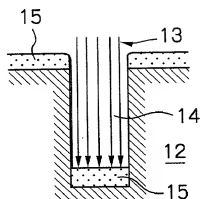


Fig. 29(b)

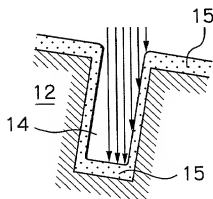


Fig. 29(c)

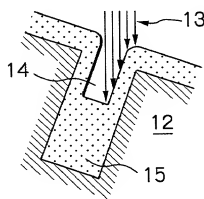


Fig. 29(d)

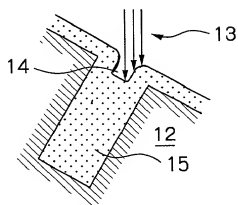
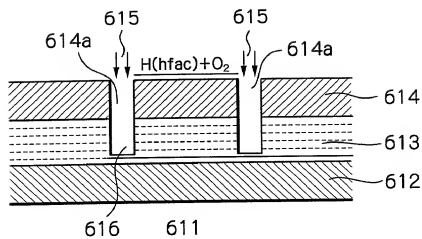


Fig. 30*Fig. 31*

ETCHING GAS	$H(hfac)+O_2$	$H(hfac)$
PARTICLE BEAM	ARGON ION OR ARGON RADICAL	OXYGEN ION OR OXYGEN RADICAL

Fig. 32

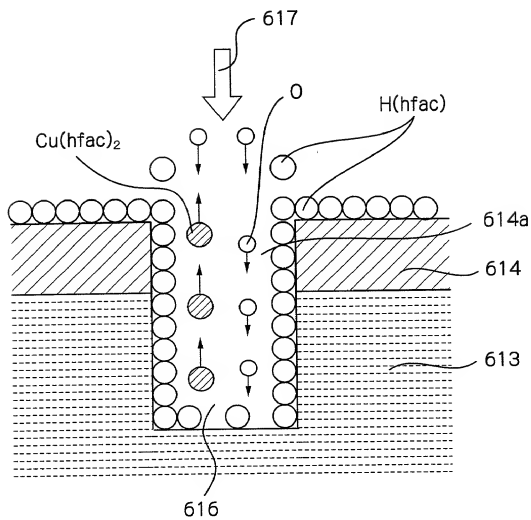


Fig. 33

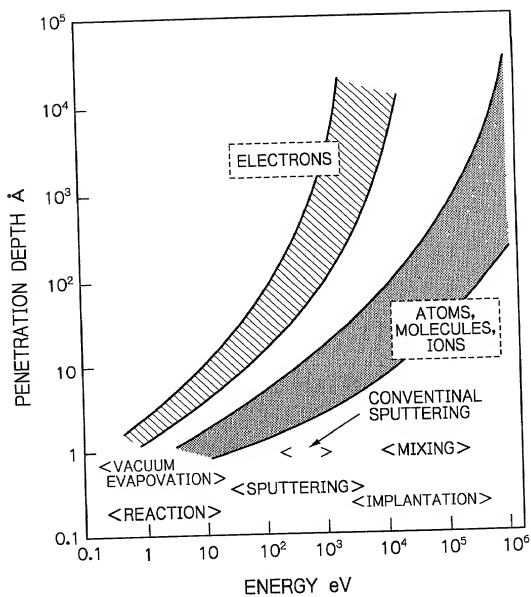


Fig. 34

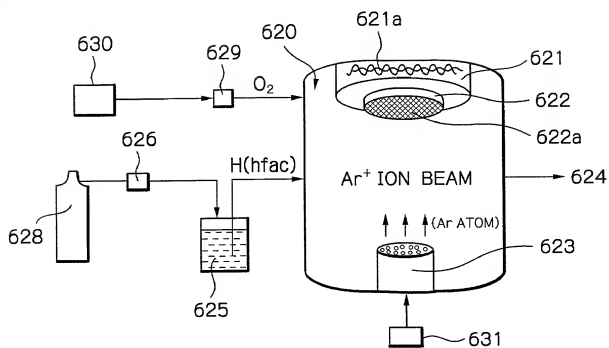


Fig. 35

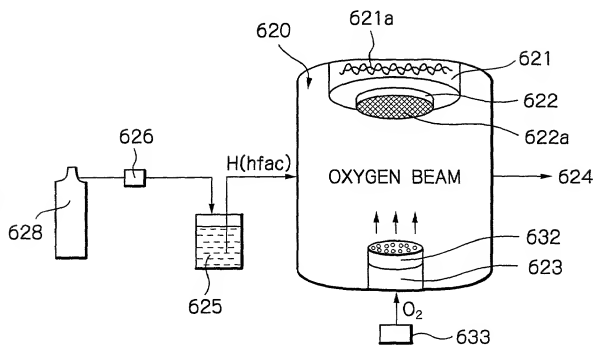


Fig. 36(a)

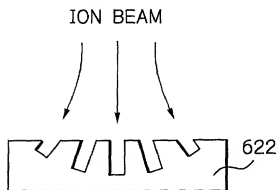


Fig. 36(b)

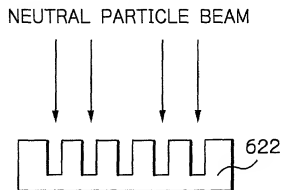


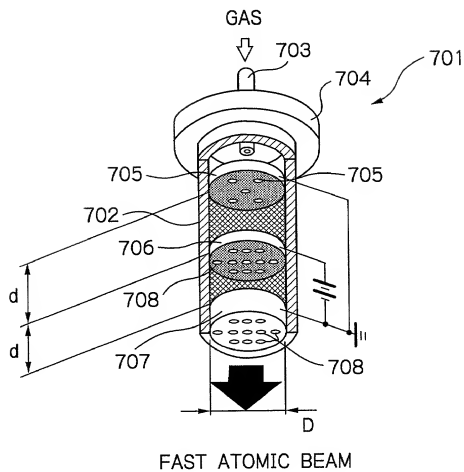
Fig. 37

Fig. 38

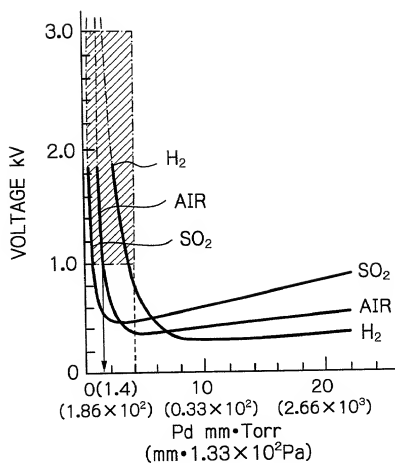


Fig. 39

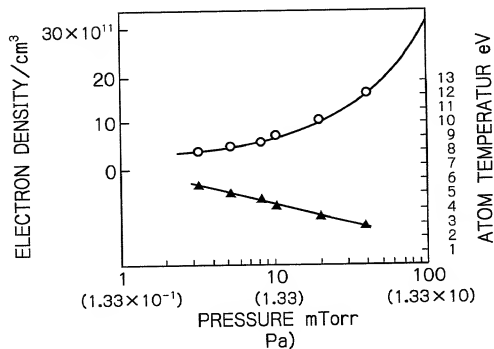


Fig. 40

